

论文相似性检测报告（详细版）

报告编号: 6a704fc9-0d5a-4088-a5c6-a485014026dc
原文字数: 35,009
检测日期: 2015年04月25日
检测范围: 中国学术期刊数据库（CSPD）、中国学位论文全文数据库（CDDb）、中国学术会议论文数据库（CCPD）、中国学术网页数据库（CSWD）
检测结果:

一、总体结论

总相似比: 4.27% (参考文献相似比: 0.00%, 排除参考文献相似比: 4.27%)

二、相似片段分布



三、相似论文作者（举例7个）



[点击查看全部举例相似论文作者](#)

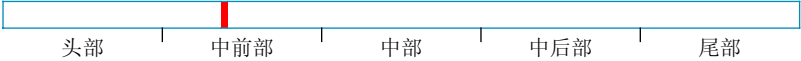
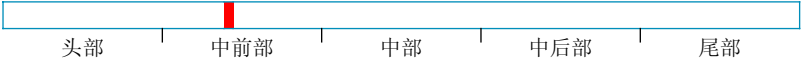
四、典型相似论文（举例7篇）

序号	相似比	相似论文标题	参考文献	论文类型	作者	来源	发表时间
1	1.87%	基于图的频繁子结构挖掘算法综述		期刊论文	张焕生 等	微型机与应用	2009
2	0.80%	物流网络路径优化及其算法设计		学位论文	包建国	哈尔滨工业大学	2008
3	0.53%	三维动画设计中若干数字几何处理问题研究		学位论文	关东东	山东大学	2006
4	0.53%	无关位在被测电路自己施加测试矢量方法中的研究与应用		学位论文	周皓	湖南大学	2009

序号	相似比	相似论文标题	参考文献	论文类型	作者	来源	发表时间
5	0.53%	移动环境中三维图形传输机制与流水线优化算法研究		学位论文	杨柏林	浙江大学计算机学院	2007
6	0.53%	基于异构表的数据迁移算法研究		学位论文	刘欣然	哈尔滨工程大学	2013
7	0.53%	基于Web Service的智能化网络构件研究及应用		学位论文	陆佳炜	浙江工业大学	2006

五、相似论文片段（共7个）

1	<p>送检论文片段</p> <p>位置：</p> <p>每个图中的顶点会接收来自上一次迭代的信息，并发送信息给其他顶点，同时可能修改其自身状态以及以它为顶点的出边的状态，甚至改变整个图的拓扑结构，该迭代过程持续到整个图中所有顶点完成收敛，即所有顶点由激活状态转换为不激活状态。在第0个超级步，所有顶点都处于激活状态，所有的激活顶点</p>	<p>相似论文片段 【0.53%】</p> <p>来源：<u>移动环境中三维图形传输机制与流水线优化算法研究</u> [学位论文]杨柏林，2007年 浙江大学计算机学院</p> <p>同时，此方法将会得到一个完全错误的预测结果。在本文中，我们设计了一个有效的判断丢失顶点所属chart方法。在我们的方法中，每个顶点设置一个连续顶点标记 (continuous vertexflag, CpF)。如果丢失顶点的所有相邻顶点的纹理坐标与丢失顶点同处于一个Chart中，我们称此顶点为连续顶点 (Continuous Vertex)。否则，我们称之为不连续顶点 (discontinuous vertex)。当此顶点</p>
2	<p>送检论文片段</p> <p>位置：</p> <p>一个确定的源顶点s，广度搜索算法的主要流程如下： 首先访问顶点s，并将顶点s标记为已访问。 依次搜索s_0所有邻接顶点s_1, s_2, \dots, s_m，并将其标记为已访问。 再按照s_1, s_2, \dots, s_m的次序依次访问它们的未访问过的邻接顶点，并将其标记为已访问 以此类推，直到图中所有和源顶点s_0有路径相同的顶点都被访问过为止，如图所示。</p>	<p>相似论文片段 【1.07%】</p> <p>来源：<u>基于图的频繁子结构挖掘算法综述</u> [期刊论文]《微型机与应用》，2009年 张焕生 等</p> <p>顶点对其做标记，然后对访问过的顶点集合反复扩展，直到建立一个完全的深度优先搜索 (DFS) 树。在构造DFS树时，顶点的访问顺序形成一个线性序 (用下标来记录此次序)，设起始顶点为根，则最后访问的顶点称为最右顶点，从根到最右顶点的直接路径称为最右路径。gSpan扩展时只进行最右扩展，即在DFS树中一条新边可以添加到最右顶点和最右路径上另一个顶点之间或者引进一个新的顶点并连接到最右路径</p>

	<p>对于给定的图$G=(V, E)$和一个确定的源顶点s，深度优先遍历的基本流程如下：</p> <p>首先访问顶点s，并将顶点s标记为已访问。</p> <p>依次搜索s_0的所有邻接顶点s_i，若s_i没有被访问过，则把顶点s_i作为新的源点，继续深度优先遍历，知道图中所有和顶点s_0有路径的顶点都被访问一次为止。</p> <p>如果图中存其他未被访问的顶点，则另选一个</p>	
3	<p>送检论文片段</p> <p>位置：</p> <p>所有顶点都被访问过为止，如图所示。</p> <p>单源最短路径是图论中寻找从开始顶点到某一终止顶点的的最短的路径算法。对于已知图$G=(V, E)$，寻找从给定的源点s到顶点$s_i \in V$的最短路径。最常见的算法就是Dijkstra算法，它的主要思想是：如果路径P是从源点s_0到顶点s_j的最短路径，其中顶点s_i是路径中的一个点，则从顶点s_0沿着路径P到顶点s_i的路径就是从顶点s_0到顶点s_i的最短路径。假设源点为s_0，集合$U=\{s_0\}$，$distance[i]$记录从顶点s_0到顶点s_i的最短路径</p>	<p>相似论文片段 【0.53%】</p> <p>来源：<u>物流网络路径优化及其算法设计</u> [学位论文]包建国，2008年 哈尔滨工业大学</p> <p>并且 v 到 s_j 的最短路径长度小于 V 中其他任意顶点的最短路径长度。S?利用反证法，设从到 v_j 的最短路径至少经过 V S? 中的一个顶点，沿着路径找到其中不在 中的第一个顶点，则从 到 $s_{tv} v_j$ 的最短路径长度为从到 的最短路径长度与从 到 $v_{tv} v_j$ 的最短路径长度之和，即从 到 v_j 的最短路径长度大于从 到 的最短路径长度。v_{tv}由于 是路径中第一个不在 中的顶点，从 到 路径上的所有顶点仅在 中，所以 的值就是路径长度，而根据公式(2-2)，此时选中的顶点</p>
4	<p>送检论文片段</p> <p>位置：</p> <p>路径P是从源点s_0到顶点s_j的最短路径，其中顶点s_i是路径中的一个点，则从顶点s_0沿着路径P到顶点s_i的路径就是从顶点s_0到顶点s_i的最短路径。假设源点为s_0，集合$U=\{s_0\}$，$distance[i]$记录从顶点s_0到顶点s_i的最短路径，$path[i]$记录从顶点s_0到顶点s_i的路径上的前一个顶点，则Dijkstra算法的主要流程如下：</p> <p>从顶点集合$V-U$中选择使$distance[i]$最小的顶点s_i，并将顶点s_i加入集合U。</p> <p>更新与顶点s_i直接相邻的$distance$值。</p>	<p>相似论文片段 【0.80%】</p> <p>来源：<u>基于图的频繁子结构挖掘算法综述</u> [期刊论文]《微型机与应用》，2009年 张焕生 等</p> <p>顶点对其做标记,然后对被访问过的顶点集合反复扩展,直到建立一个完全的深度优先搜索(DFS)树。在构造DFS树时,顶点的访问顺序形成一个线性序(用下标来记录此次序),设起始顶点为根,则最后访问的顶点称为最右顶点,从根到最右顶点的直接路径称为最右路径。gSpan扩展时只进行最右扩展,即在DFS树中一条新边可以添加到最右顶点和最右路径上另一个顶点之间或者引进一个新的顶点并连接到最右路径</p>

	<p>重复以上步骤，直到顶点集合\$U\$与图的顶点集合\$V\$相同，则计算完成。</p> <p>最小生成树是指用少的边连接图中所有的顶点。最常见的最小生成树算法是Prime算法和kruskal算法。Prime算法的主要思想是从某一顶点</p>	
5	<p>送检论文片段</p> <p>位置:</p>  <p>全局同步的机制，如图所示。BSP模型非常适合分布式的图计算环境。首先，BSP模型具有全局的数据通信网络。BSP中的各个处理单元和通过它和其他处理单元进行通信或内存的存取，这和大多数基于分布式内存或消息传递的并行模型是相同的。不同的是BSP的通信是一个全局的概念，不是点对点的通信，能够很好的解决图计算过程中数据</p>	<p>相似论文片段 【0.53%】</p>
6	<p>送检论文片段</p> <p>位置:</p>  <p>进行处理更新。</p> <p>随着计算机多核处理器的出现和内存不断增大，单台计算机的计算性能实际上已经有着很大的提升。</p> <p>在过去40多年时间里，计算机性能一直遵循着摩尔定律，集成电路上可容纳的晶体管数目，约每隔18个月便会增加一倍，而集成电路的性能（计算能力）也将提升一倍。近年来，集成电路的集成程度已经</p>	<p>相似论文片段 【0.53%】</p> <p>来源: <u>无关位在被测电路自己施加测试矢量方法中的研究与应用</u> [学位论文]周皓, 2009年 湖南大学</p> <p>以来,通过集成各种IP核,系统级芯片(System on Chip, SoC)的功能日益强大,通过外部设备的探针进行测试的难度也越来越大,这就带来了设计和测试的一系列问题…。以往那种设计人员先设计出电路,测试人员再制定测试方案的传统方法已经不再适合实际的需求。自20世纪70年代以来,VLSI的发展一直遵循着摩尔定律,即集成电路上可容纳的晶体管数目,大约每隔18个月便会增加</p>
7	<p>送检论文片段</p> <p>位置:</p>  <p>全局的数据通信网络。BSP中的各个处理单元和通过它和其他处理单元进行通信或内存的存取</p>	<p>相似论文片段 【0.53%】</p>

<p>，这和大多数基于分布式内存或消息传递的并行模型是相同的。不同的是BSP的通信是一个全局的概念，不是点对点的通信，能够很好的解决图计算过程中数据的随机访问问题。其次，BSP模型具有全局的路障同步机制。路障同步的引入则能保证图处理</p>	
--	--

六、全部举例相似论文作者（共7个）

序号	作者	典型片段总相似比	剩余相似比
1	崔炳德	1.87%	2.40%
2	徐德生	1.87%	2.40%
3	王政峰	1.87%	2.40%
4	张焕生	1.87%	2.40%
5	周皓	0.53%	3.73%
6	包建国	0.53%	3.73%
7	杨柏林	0.53%	3.73%

[查看全文报告请点击](#)

说明：

1. 总相似比≈送检论文与检测范围全部数据相似部分的字数/送检论文总字数
2. 参考文献相似比≈送检论文与其参考文献相似部分的字数/送检论文总字数
3. 排除参考文献相似比=总相似比-参考文献相似比
4. 剩余相似比≈总相似比-典型片段总相似比
5. 本报告为检测系统算法自动生成，仅供参考